

## ЦИКЛОТРОННЫЙ РЕЗОНАНС ДЫРОК ГЕРМАНИЯ С ОТРИЦАТЕЛЬНЫМИ МАССАМИ ПРИ $\mathbf{H} \nparallel [001]$

Гавриленко В. И., Калугин Н. Г., Красильник З. Ф.,  
Никоноров В. В., Стариков Е. В., Шикторов П. Н.

Обсуждается динамический разогрев тяжелых дырок германия в почти продольных  $\mathbf{E}$  и  $\mathbf{H}$  полях при небольшом отклонении магнитного поля от оси конуса отрицательных циклотронных масс. Методом Монте-Карло рассчитана отрицательная подвижность дырок. Экспериментально обнаружено значительное (более чем на 25 %) повышение частоты генерации лазера на дырках с отрицательными массами при отклонении вектора  $\mathbf{H}$  от оси  $[001]$ .

Генерация электромагнитного излучения тяжелыми дырками германия в  $\mathbf{E} \parallel \mathbf{H} \parallel [001]$  полях связана с инверсией в распределении по энергии дырок с отрицательными циклотронными массами (ОЦМ) [1]. Такое распределение дырок с ОЦМ возникает при многопучковом стриминге в условиях преимущественного рассеяния носителей с испусканием оптических фононов. В настоящей работе излагаются результаты исследования влияния отклонения магнитного поля от кристаллографического направления  $[001]$  на спектр циклотронных частот и излучательные характеристики дырок с ОЦМ.

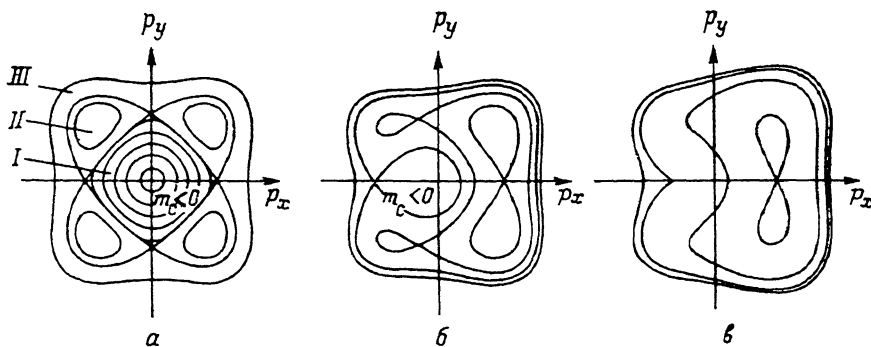


Рис. 1. Траектории циклотронного вращения тяжелых дырок германия,  $\mathbf{H} \parallel p_z$ ,  $p_x = \text{const}$  при  $\mathbf{H} \parallel [001]$  (а) и  $\mathbf{H} \nparallel [001]$ :  $\theta = 3$  (б) и 8.9 град (в).

$\theta$  — угол отклонения  $\mathbf{H}$  от оси  $[001]$  в плоскости  $(100)$ .

Траектории циклотронного вращения тяжелых дырок германия в магнитном поле  $\mathbf{H} \parallel [001]$  (а) и  $\mathbf{H} \nparallel [001]$  (б, в) изображены на рис. 1, где имеется три типа циклотронных орбит: область I — ОЦМ, направление вращения дырок в которой противоположно направлению вращения дырок с положительными циклотронными массами в областях II, III. В условиях адиабатически инвариантного вращательно-поступательного дрейфа в полях  $\mathbf{E} \parallel \mathbf{H}$  дырки локализируются в  $p$ -пространстве в окрестности конусов циклотронного вращения типа I, II [2]. Таким образом формируется пятипучковый стриминг. В слабо легированном германии  $p$ -типа ( $p \leq 10^{14} \text{ см}^{-3}$ ) при низких температурах ( $T \leq 77 \text{ K}$ ) в полях  $E \geq 40 \text{ В/см}$ ,  $H \geq 5 \text{ кЭ}$  распределение дырок в конусе ОЦМ инвертировано по энергии циклотронного вращения, что приводит в определен-

ных условиях [1, 3] к генерации электромагнитного излучения. При отклонении  $\mathbf{H}$  от оси [001] конус ОЦМ сужается, понижается симметрия траекторий (рис. 1, б). Когда отклонение  $\mathbf{H}$  превышает угол  $8.9^\circ$  в плоскости (100) или  $10^\circ$  в плоскости (110), конус ОЦМ исчезает. В таких условиях функция распределения тяжелых дырок не инвертирована, а проводимость на циклотронном резонансе положительна.

На рис. 2 приведено распределение циклотронных частот в конусе ОЦМ при

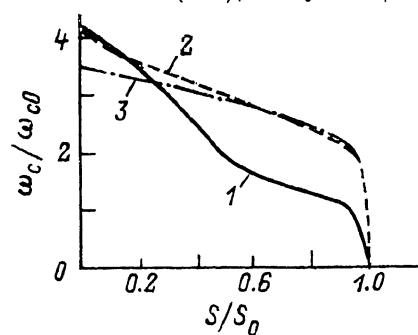


Рис. 2. Дисперсия циклотронных частот тяжелых дырок германия с отрицательными массами.

$S/S_0$  — отношение площади циклотронной орбиты к сечению конуса ОЦМ,  $\omega_{c0} = eH/m_0c$ ,  $m_0$  — масса свободного электрона,  $\theta$ , град: 1 — 0, 2 — 3, 3 — 6.

различных значениях  $\theta$  [магнитное поле поворачивается в плоскости (010)]. Примечательно, что при небольших углах отклонения ( $\theta \approx 3^\circ$ ) циклотронная частота дырок в конусе ОЦМ возрастает почти на всех орбитах по сравнению со случаем  $\theta = 0^\circ$ , что должно приводить к смещению пика линии циклотронного усиления для резонансно активной поляризации вектора  $\mathbf{E}_1$  [3] в сторону более высоких частот при фиксированном значении величины поля  $H$ . Возможность такого эффекта отмечалась в работе [4].

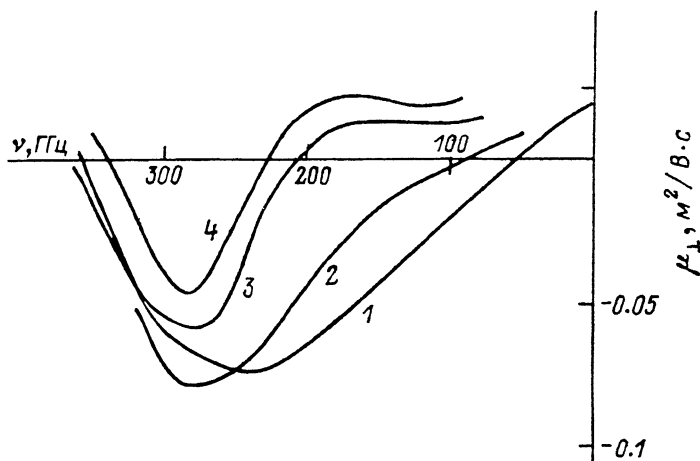


Рис. 3. Зависимости подвижности тяжелых дырок германия от частоты колебаний поля электромагнитной волны круговой «электронной» поляризации.

$E = 150$  В/см,  $H = 33$  кЭ,  $N_A - N_D = 10^{14}$  см $^{-3}$ ,  $N_A + N_D = 2 \cdot 10^{14}$  см $^{-3}$ ,  $T = 4.2$  К (численное моделирование методом Монте-Карло).  $\theta$ , град: 1 — 0, 2 — 1.5, 3 — 3.5, 4 — 5.

Проводимость горячих дырок германия с ОЦМ моделировалась численным путем методом Монте-Карло [3, 5]. Учитывались особенности динамики в  $\mathbf{E} \parallel \mathbf{H}$  полях дырок с анизотропным характером закона дисперсии  $\epsilon(\mathbf{p})$ , процессы рассеяния на оптических и акустических фононах, на ионизованных примесях при гелиевых температурах. Рассчитанные таким путем линии циклотронного резонанса при «электронной» поляризации вектора  $\mathbf{E}_1$  высокочастотного поля в образце с концентрацией дырок  $N_A - N_D = 10^{14}$  см $^{-3}$  ( $N_A + N_D = 2 \cdot 10^{14}$  см $^{-3}$ ) приведены на рис. 3. В данном случае магнитное поле отклонено от оси [001] в плоскости (100). При  $\theta \approx 3^\circ$  смещение линии ЦР составляет  $\sim 30\%$ , дальнейший рост угла  $\theta$  приводит к существенному падению величины отрицательной подвижности дырок, что связано с уменьшением фазового объема и в конечном итоге исчезновением конуса ОЦМ. По расчетам, к таким же эффектам приводит одновременное отклонение  $\mathbf{E}$  и  $\mathbf{H}$ .

Экспериментальные исследования влияния отклонения магнитного поля на генерацию электромагнитного излучения тяжелыми дырками германия с отрицательными массами проводились в двухмагнитной системе в гелиевом криостате. Образец  $p$ -Ge с концентрацией дырок  $N_A - N_D \approx 5 \cdot 10^{13} \text{ см}^{-3}$  размещался в сверхпроводящем соленоиде, магнитное поле  $H_0$  которого было направлено соосно с полем  $E$  и осью  $[001]$  в образце. Поле  $H_1 \perp H_0$  ( $H_1 \ll H_0$ ) создавалось катушками Гельмгольца. Пропуская ток через катушки, можно было менять направление результирующего магнитного поля  $H_{\text{tot}} = H_0 + H_1$ . Генерируемое излучение коротковолновой частоты миллиметрового диапазона выводилось из криостата и регистрировалось либо широкополосным детектором — диодом с барьером Шоттки, либо высокоселективным супергетеродинным приемником. На рис. 4 приведены полученные с помощью этих приемников зависимости интенсивности излучения от угла  $\theta$  между  $H_0$  и  $H_{\text{tot}}$  при фиксированных значениях  $E$  и  $H$ . Вещины  $E$  и  $H$  были выбраны вдали от краев зоны генерации — области значений  $E$  и  $H$ , при которых наблюдается индуцированное излучение [3]. Одно из направлений отклонения произвольно выбрано положительным. Кривая 1 (рис. 4) получена с помощью широкополосного детектора и отражает зависимость мощности излучения от угла наклона магнитного поля. Просматривается симметрия кривой относительно угла  $\theta = \theta^* \approx -1^\circ$ . При от-

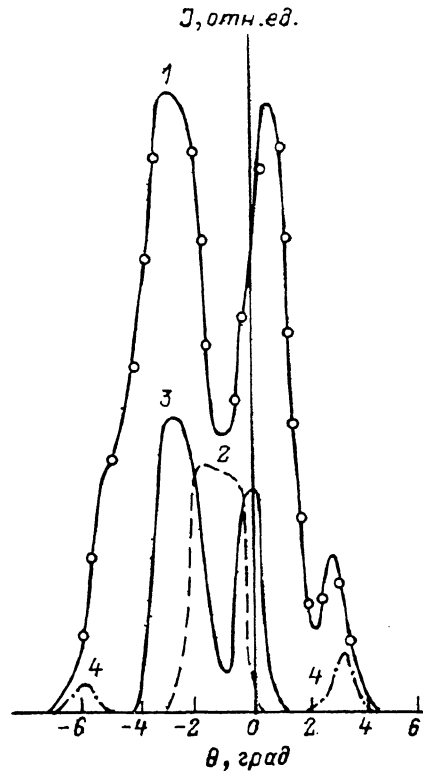


Рис. 4. Зависимости интенсивности излучения лазера от угла наклона магнитного поля по отношению к оси  $[001]$  ( $E \parallel [001]$ ,  $E = 150 \text{ В/см}$ ,  $H = 23 \text{ кЭ}$ ), измеренные широкополосным приемником на основе диода с барьером Шоттки (1) и супергетеродинным приемником на частотах  $f_1 = 146.5$  (2),  $f_2 = 158.7$  (3),  $f_3 = 183.6 \text{ ГГц}$  (4).

клонении  $H_{\text{tot}}$  в обе стороны от направления, соответствующего  $\theta^*$ , сигнал на широкополосном детекторе первоначально возрастает, достигает максимума, после чего убывает вплоть до срыва генерации. Такой характер зависимости интенсивности излучения от угла  $\theta$  качественно согласуется с результатами расчетов линейной подвижности, приведенными на рис. 3 (ср.  $\theta = 0$  и  $1.5^\circ$ ), если предположить, что магнитное поле  $H_0$  изначально было отклонено от оси  $[001]$  активного элемента лазера на угол  $\theta^*$ . Такая разъюстировка, по-видимому, связана с неточным определением кристаллографического направления  $[001]$ , вдоль которого вырезался активный элемент лазера в форме прямоугольного параллелепипеда. В последующем опыте при повороте элемента вокруг своей оси на  $90^\circ$  относительно первоначального положения значение угла  $\theta^*$  оказалось близким к нулю.

Для изучения влияния отклонения  $H$  на циклотронные массы дырок использовался селективный супергетеродинный приемник с шириной полосы, много меньшей межмодового расстояния  $\Delta f = c/2L$ , где  $L$  — оптическая длина резонатора, целиком заполненного активной средой. Меняя частоту гетеродина, можно было настроить приемник на интересующую нас моду генератора и исследовать влияние отклонения поля  $H$  на интенсивность генерации на данной частоте. На рис. 4 приведены характерные зависимости для трех мод генератора. При  $\theta = \theta^*$  наиболее интенсивна мода с наименьшей частотой  $f_1 = 146.5 \text{ ГГц}$

(кривая 2). При отклонении  $\theta$  вправо или влево относительно значения  $\theta^*$  поочередно «разгораются» моды  $f_2 > f_1$  и  $f_3 > f_2$  (рис. 4, кривые 3, 4). Как следует из теории конкуренции и взаимодействия мод лазера [6], в условиях стационарной генерации наиболее интенсивной оказывается та мода, для которой линейный инкремент максимален. Из данного эксперимента следует, что при отклонении магнитного поля от кристаллографической оси [001] на единицы градусов максимум линейного инкремента смещается в сторону высоких частот. Это согласуется с приведенными выше результатами теоретического рассмотрения кинетических характеристик (рис. 2, 3).

Проведенные исследования дополняют существующие представления о формировании сильно анизотропных распределений горячих носителей в гофрированной зоне, инверсии и связанной с ней отрицательной проводимостью на циклотронном резонансе дырок с отрицательными массами. Незначительное отклонение магнитного поля  $H$  от оси [001] приводит к изменению спектра циклотронных частот дырок, изменению фазовых объемов конусов дырок с положительными и отрицательными массами и в конечном счете к изменению доли тех и других носителей. С помощью отклонения магнитного поля можно управлять частотой и мощностью генерации и, в частности, заметно поднять их значения по сравнению со случаем, когда магнитное поле ориентировано строго вдоль оси конуса отрицательных циклотронных масс.

#### Список литературы

- [1] Андронов А. А., Белянцев А. М., Гавриленко В. И., Додин Е. П., Красильник З. Ф., Никоноров В. В., Павлов С. А., Шварц М. М. // ЖЭТФ. 1986. Т. 90. В. 1. С. 367—385.
- [2] Андронов А. А., Додин Е. П., Красильник З. Ф. // Письма ЖЭТФ. 1986. Т. 43. В. 8. С. 373—376.
- [3] Андронов А. А., Гавриленко В. И., Додин Е. П., Красильник З. Ф., Никоноров В. В., Павлов С. А., Шварц М. М. // Полупроводниковые лазеры на циклотронном резонансе. Горький, 1986. С. 26—72.
- [4] Akasaka L., Komiyama S. // Proc. 4 Int. Conf. Infrared Physics. Zurich, 1988. P. 612—614.
- [5] Стариков Е. В., Шикторов П. Н. // Полупроводниковые лазеры на циклотронном резонансе. Горький, 1986. С. 73—82.
- [6] Белянцев А. М., Гавриленко В. И., Красильник З. Ф., Кукин Л. М., Никоноров В. В., Павлов С. А., Паршин В. В., Ревин Д. Г. // Полупроводниковые лазеры на циклотронном резонансе. Горький, 1986. С. 83—101.

Институт прикладной физики АН СССР  
Горький

Получена 1.11.1989  
Принята к печати 2.01.1990